

计算机视觉课程

——基于图像的三维模型重建(下)



主讲人 隋博士



✓ 基于光度一致性的网格细节优化

- ✓ 基础知识
- ✓ 数学模型

✓ 全自动的纹理图像创建

- ✓ 网格参数化
- ✓ 视角选择
- ✓ 纹理图像拼接与编辑

真实感绘制的基本要素

高精度的三维模型



真实感绘制
技术



精致的纹理模型



合理的光照

基于光度一致性的网格细节优化



深蓝学院
shenlanxueyuan.com

动机： 原始的网格存在噪声或者空洞，无法捕捉场景细节

思路： 采用变分多视角立体技术，构建能量函数，将初始的网格作为初始值，进行梯度下降优化

基础知识—连续梯度流离散化

连续曲面上定义能量偏导

$$DE(S)[v] = \left. \frac{\partial E(S + \epsilon v)}{\partial \epsilon} \right|_{\epsilon=0} = \int_S \nabla E(x) v(x) dx.$$

与任务有关的梯度

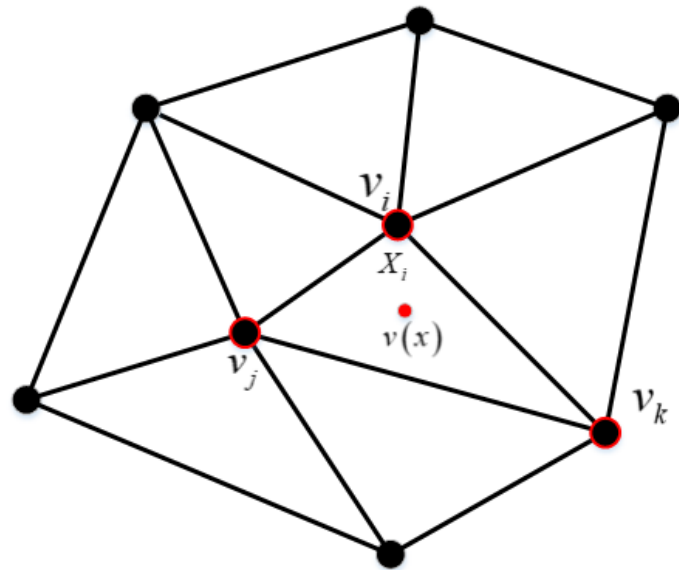
定义在连续表面上的梯度场

基础知识—连续梯度流离散化

离散网格上的向量场

$$v(x) = \sum_i v_i \phi_i$$

- $\phi_i(x)$ 是重心坐标如果 x 位于顶点 i 所在的三角形中；否则是0, $\sum_i \phi_i(x) = 1$



$$v(x) = \phi_i(x)v_i + \phi_j(x)v_j + \phi_k(x)v_k,$$
$$\phi_i(x) + \phi_j(x) + \phi_k(x) = 1$$

基础知识—连续梯度流离散化

连续曲面上定义能量偏导数

$$DE(S)[v] = \left. \frac{\partial E(S + \epsilon v)}{\partial \epsilon} \right|_{\epsilon=0} = \int_S \nabla E(x) v(x) dx.$$

离散网格上定义能量偏导数



离散网格上的向量场

$$v(x) = \sum_i v_i \phi_i$$

$$DE(S)[v] = \sum_i v_i \int_S \phi_i(x) \nabla E(x) dx.$$

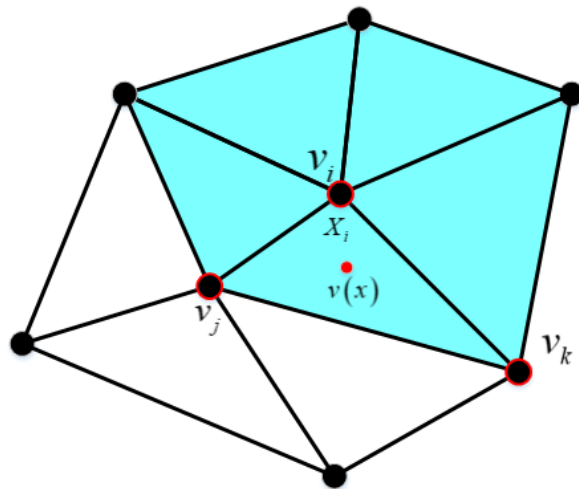
基础知识—连续梯度流离散化

离散网格上定义能量

$$DE(S)[v] = \sum_i v_i \int_S \phi_i(x) \nabla E(x) dx.$$



$$\frac{dE(S)}{dX_i} = \int_S \phi_i(x) \nabla E(x) dx \quad i \in [1, n].$$

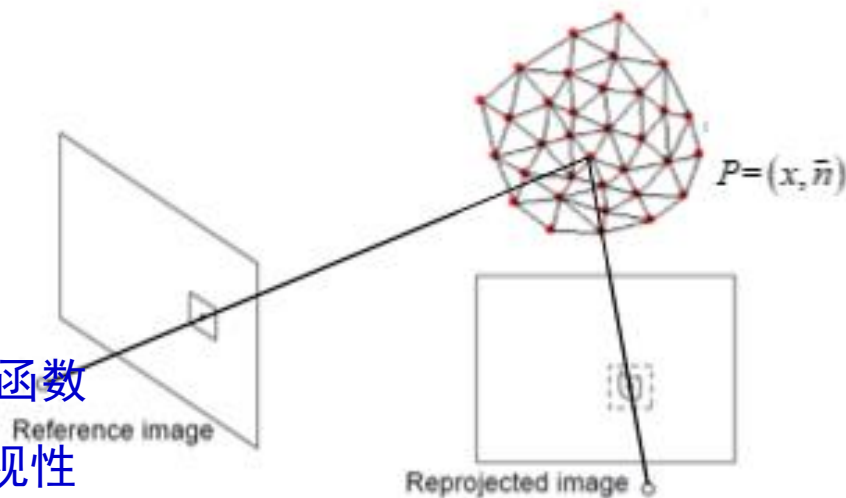


每个顶点的梯度相当于1-ring
范围内所有点的梯度的加权和

数学模型—基于空间patch

$$E_{\text{photo}}(S) = \sum_{i,j} \int_S v_{ij}^S(x) g_{ij}(x, \vec{n}) dS$$

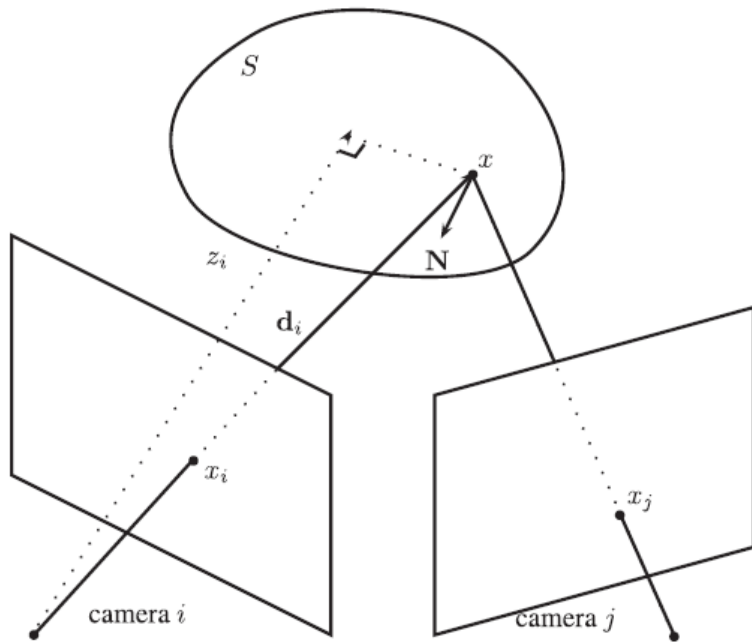
- S 表示物体表面
- x 表示物体表面上一点, \vec{n} 是其法向量
- $g_{ij}(I_i, I_j)(x, \vec{n})$ 是关于光度一致性的单调递减函数
- $v_{ij}^S(x) \in \{0, 1\}$ 表示表面上一点在图像上的可视性



数学模型—基于重投影误差


$$E_{\text{error}}(S) = \sum_{i,j} \int_{\Omega_{ij}^S} h(I_i, I_{ij}^S)(x_i) \, dx_i$$

- $h(I, J)(x)$ 表示在图像 I 和 J 之间在像素 x 处的光度一致性的单调递减函数
- $I_{ij}^S = I_j \circ \Pi_j \circ \Pi_i^{-1}$ 表示将图像 I_j 通过曲面重投影到图像 S 上
- $\bar{\Omega}_{ij}^S$ 表示重投影的有效域
- Π_i 和 Π_i^{-1} 分别表示图像的 i 投影和逆投影

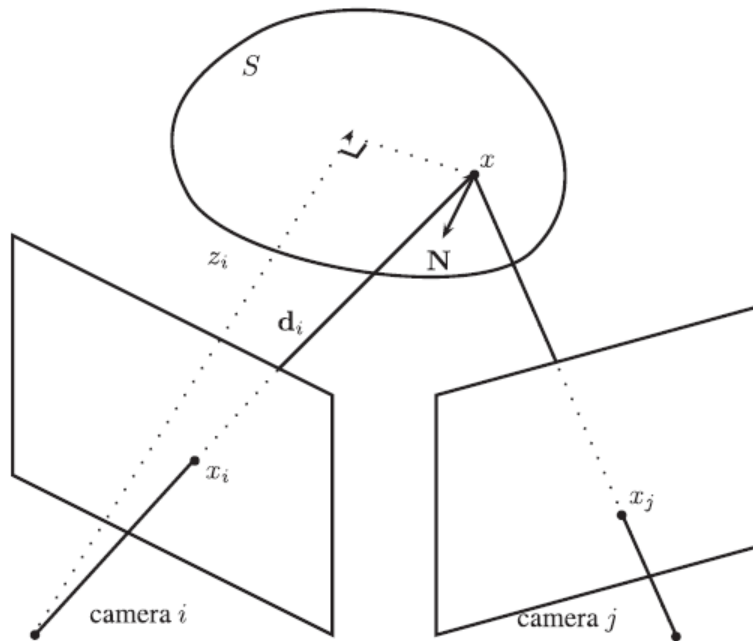


数学模型—离散化

$$E_{\text{error}}(S) = \sum_{i,j} \int_{\Omega_{ij}^S} h(I_i, I_{ij}^S)(x_i) \, dx_i$$


$$\begin{aligned} M(I, J) &= \int_{\Omega} h(I, J)(x) \, dx \\ \mathcal{M}_{ij}(S) &= M(I_i, I_{ij}^S) \end{aligned}$$

$$\begin{aligned} E_{\text{error}}(S) &= \sum_{i,j} \mathcal{M}_{ij}(S) \\ \nabla E_{\text{error}}(S) &= \sum_{i,j} \nabla \mathcal{M}_{ij}(S) \end{aligned}$$



基于光度一致性的网格细节优化

数学模型—离散化

根据链式法则

$$\mathcal{M}_{ij}(S) = M(I_i, I_j^S)$$

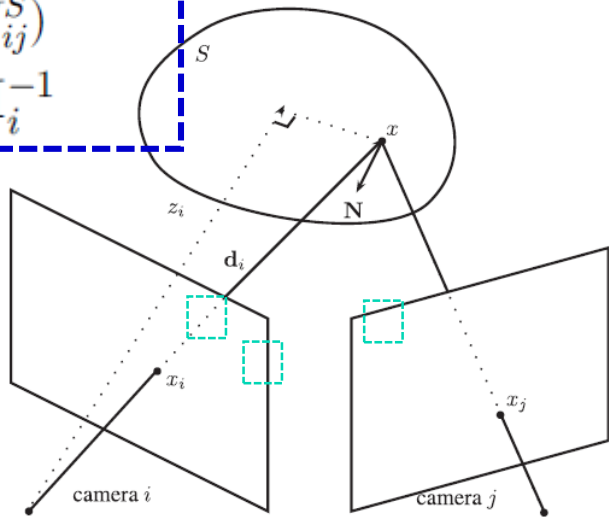
$$I_{ij}^S = I_j \circ \Pi_j \circ \Pi_i^{-1}$$

$$\nabla \mathcal{M}_{ij}(x) = \partial_2 M(x_i) D I_j(x_j) D \Pi_j(x) D \Pi_i^{-1}(x_i) \frac{dx_i}{dx}$$

$$dx_i = -\mathbf{N}^T \mathbf{d}_i dx / z_i^3$$

$$\nabla \mathcal{M}_{ij}(x) = - \left[\partial_2 M(x_i) D I_j(x_j) D \Pi_j(x) D \Pi_i^{-1}(x_i) \frac{\mathbf{d}_i}{z_i^3} \right] \mathbf{N}$$

$$\nabla \mathcal{M}_{ij}(x) = -f_{ij}(x_i) \mathbf{N} / z_i^3 \quad f_{ij}(x_i) = \partial_2 M(x_i) D I_j(x_j) D \Pi_j(x) D \Pi_i^{-1}(x_i) \mathbf{d}_i$$



数学模型—离散梯度流

$$\frac{dE_{\text{error}}(S)}{dX} = \int_S \phi(x) \sum_{i,j} \nabla \mathcal{M}_{ij}(x) dx$$

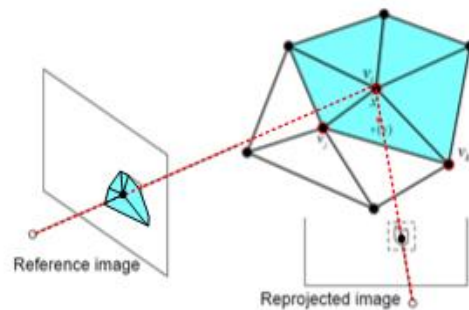
$$= - \int_S \phi(x) \sum_{i,j} f_{ij}(x_i) \mathbf{N} / z_i^3 dx$$

$$= - \sum_{i,j} \int_S \phi(x) f_{ij}(x_i) \mathbf{N} / z_i^3 dx,$$

$$= \sum_{i,j} \int_{\Omega_{ij}} \phi(x) f_{ij}(x_i) / z_i^3 \frac{z_i^3}{\mathbf{N}^T \mathbf{d}_i} \mathbf{N} dx_i$$

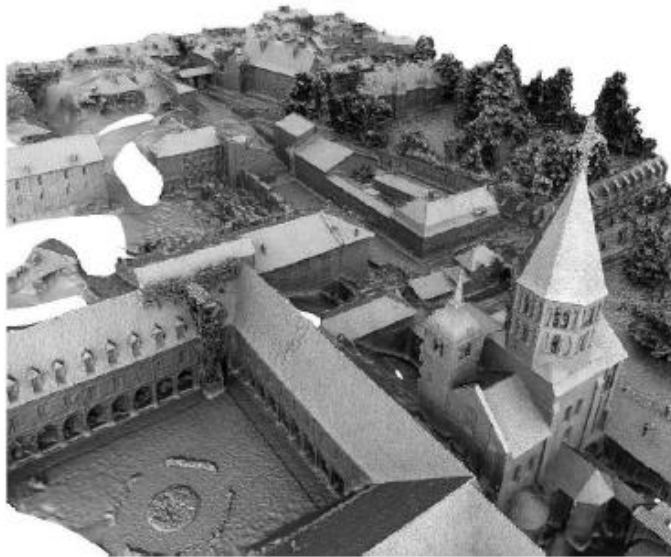
$$= \sum_{i,j} \int_{\Omega_{ij}} \phi(x) f_{ij}(x_i) / (\mathbf{N}^T \mathbf{d}_i) \mathbf{N} dx_i$$

$$\frac{dE(S)}{dX_i} = \int_S \phi_i(x) \nabla E(x) dx \quad i \in [1, n].$$



顶点的梯度等于该点的1-ring
区域在图像上的2D投影区域内
所有像素的贡献的加权和

基于光度一致性的网格细节优化



J.-P. Pons, R. Keriven, and O. Faugeras, "Multi-View Stereo Reconstruction and Scene Flow Estimation with a Global Image-Based Matching Score," Int'l J. Computer Vision, vol. 72, no. 2, pp. 179-193, 2007

基于光度一致性的网格细节优化



J.-P. Pons, R. Keriven, and O. Faugeras, "Multi-View Stereo Reconstruction and Scene Flow Estimation with a Global Image-Based Matching Score," Int'l J. Computer Vision, vol. 72, no. 2, pp. 179-193, 2007

✓ 基于光度一致性的网格细节优化

✓ 基础知识

✓ 数学模型

✓ 全自动的纹理图像创建

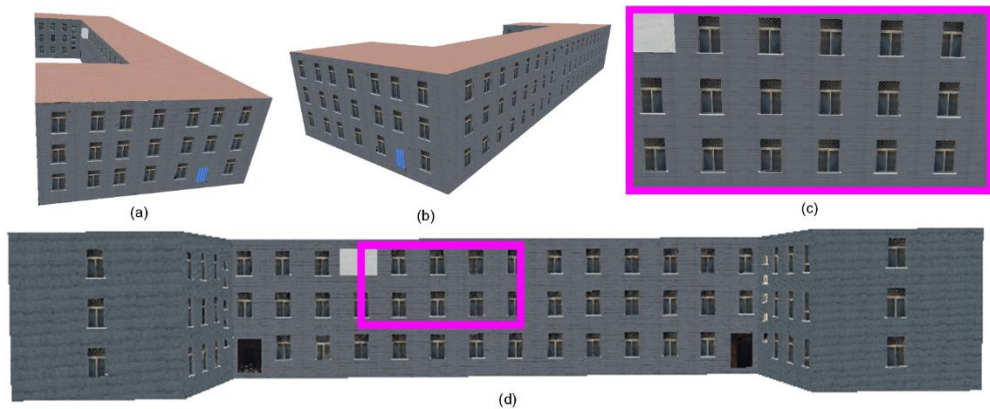
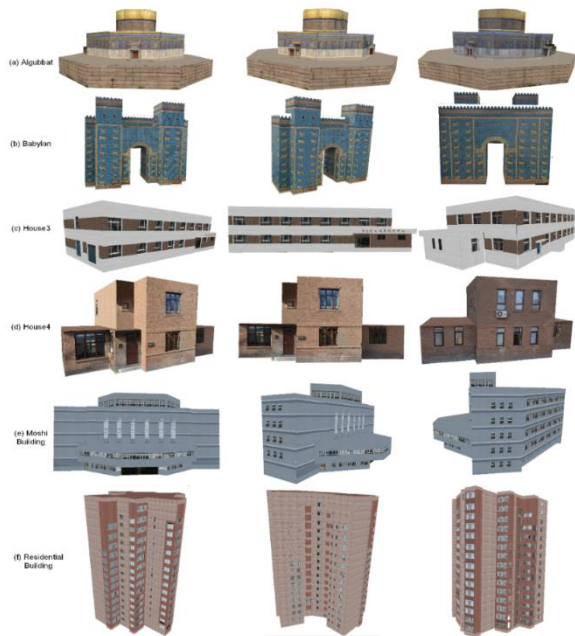
✓ 网格参数化

✓ 视角选择

✓ 纹理图像拼接与编辑

全自动的纹理图像创建

纹理贴图



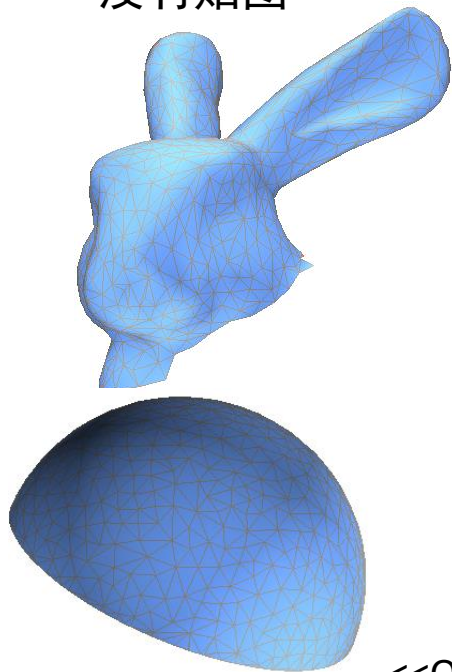


力的纹理图像创建



1

反有贴图



纹理贴图一



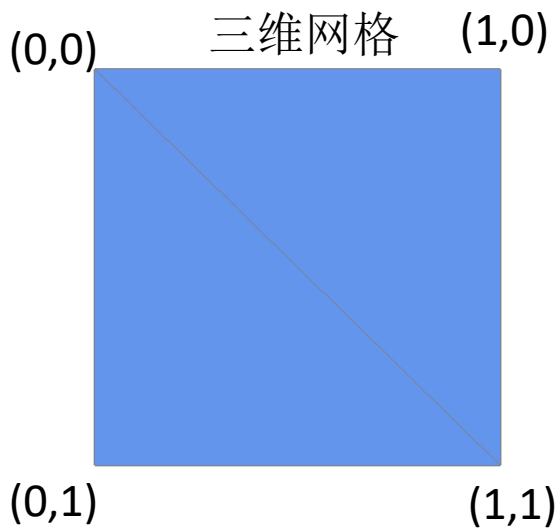
纹理贴图二



全自动的纹理图像创建

纹理坐标

$$\begin{matrix} \text{顶点坐标} \\ (x, y, z) \end{matrix} \longrightarrow \begin{matrix} \text{纹理坐标} \\ (u, v) \end{matrix}$$



纹理图像



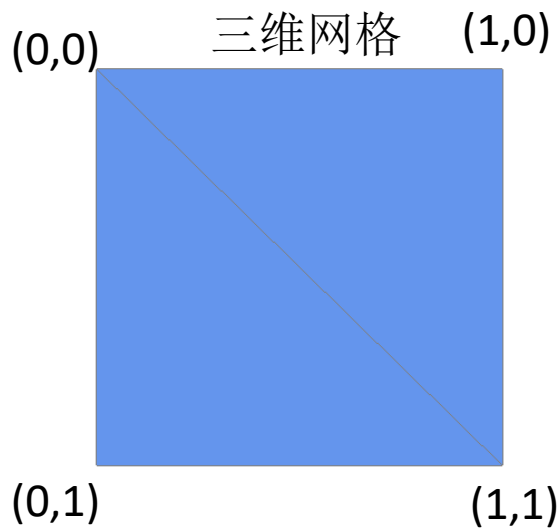
渲染效果



全自动的纹理图像创建

纹理坐标

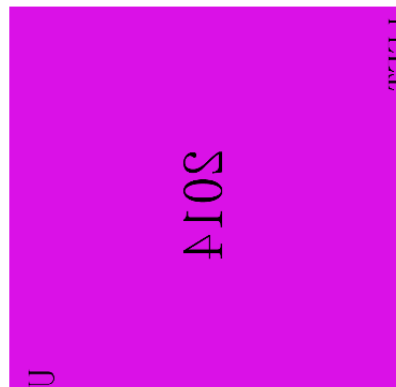
$$\begin{matrix} \text{顶点坐标} \\ (x, y, z) \end{matrix} \longrightarrow \begin{matrix} \text{纹理坐标} \\ (u, v) \end{matrix}$$



纹理图像



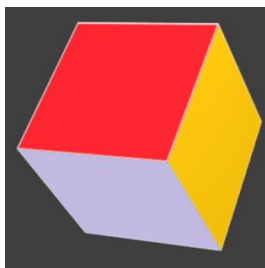
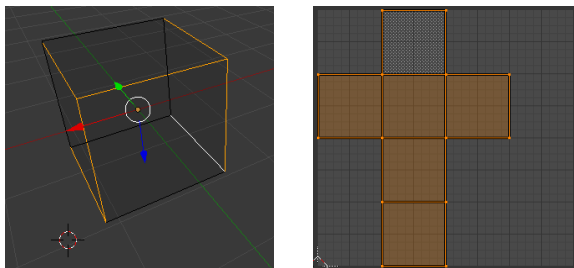
渲染效果



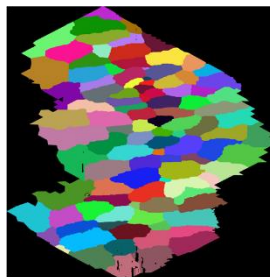
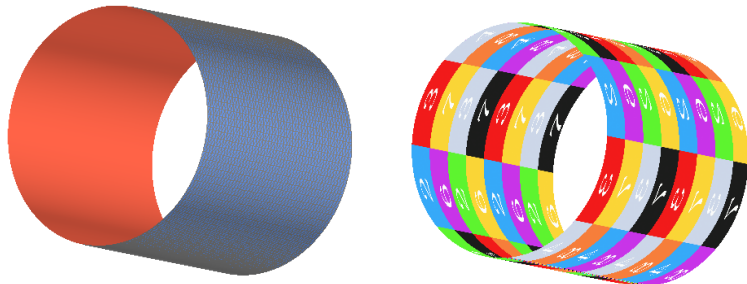
全自动的纹理图像创建

纹理图像的创建方式

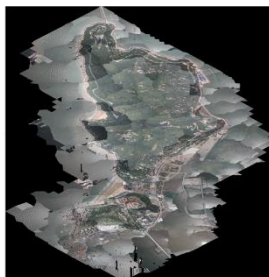
交互软件



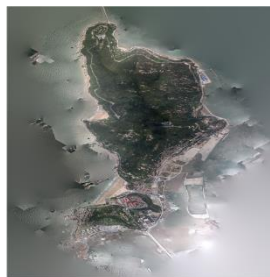
自动计算



(a) 可视信息优化结果



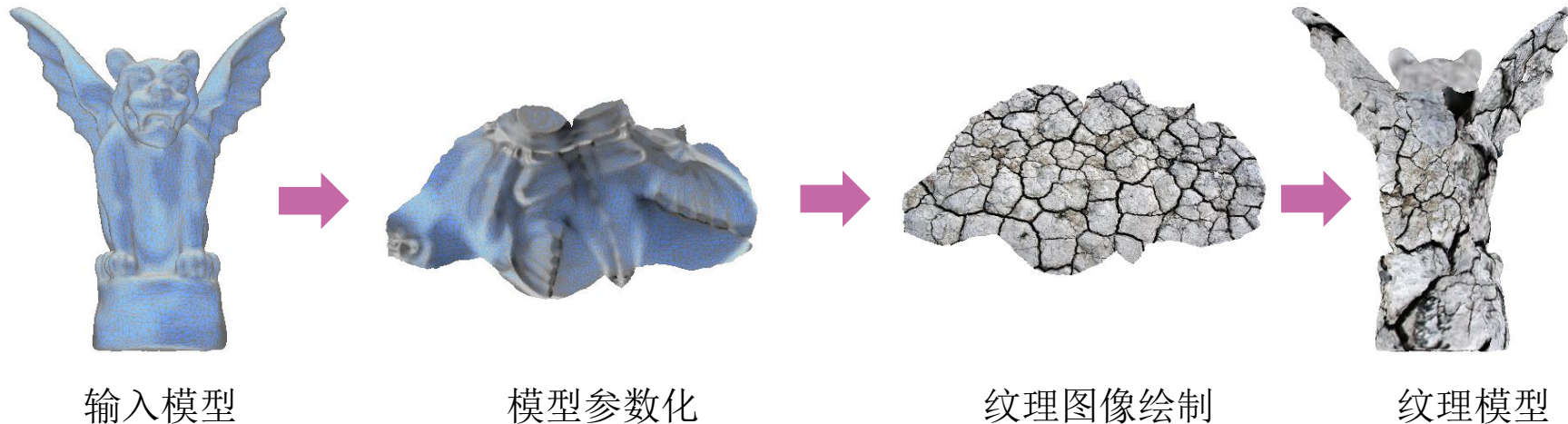
(b) 创建的原始纹理图像



(c) 泊松图像编辑后的纹理图像

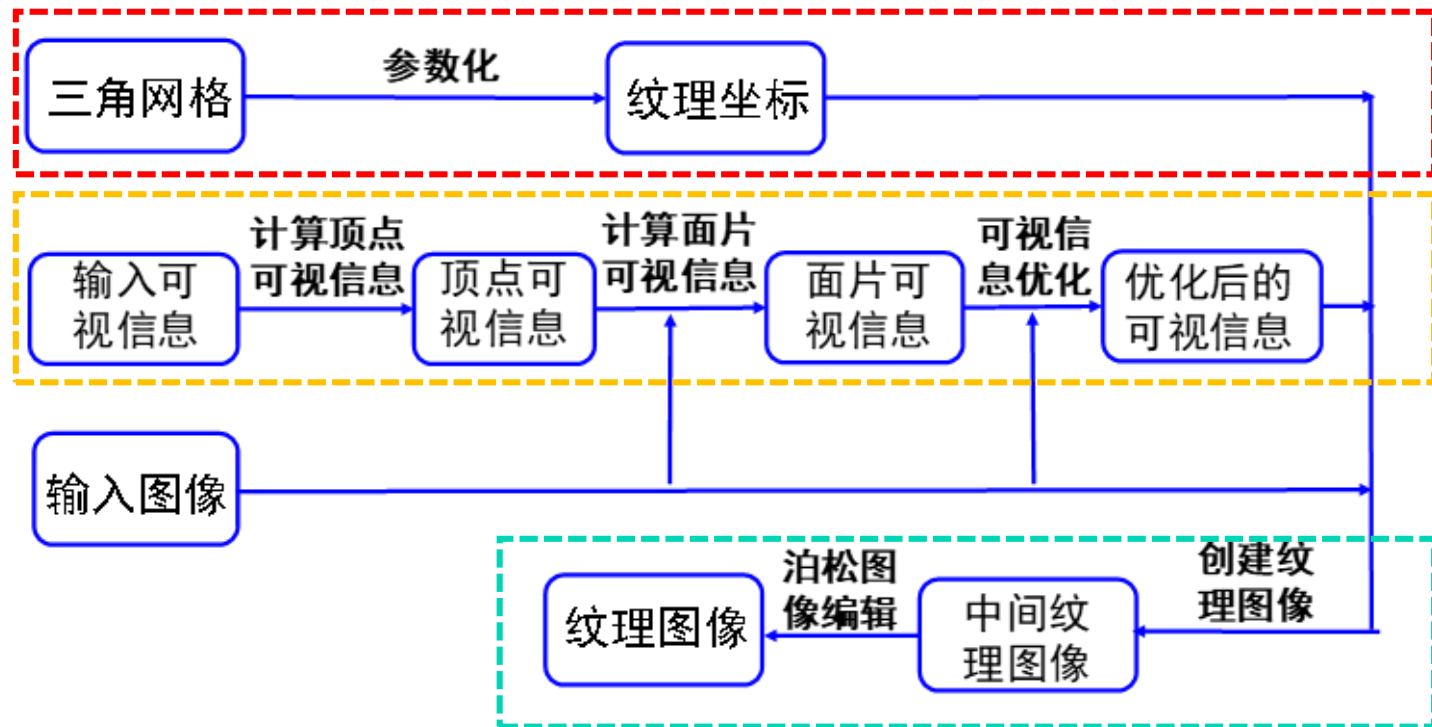
全自动的纹理图像创建

算法流程



全自动的纹理图像创建

基于多视角的纹理图像创建流程



1. 网格参数化



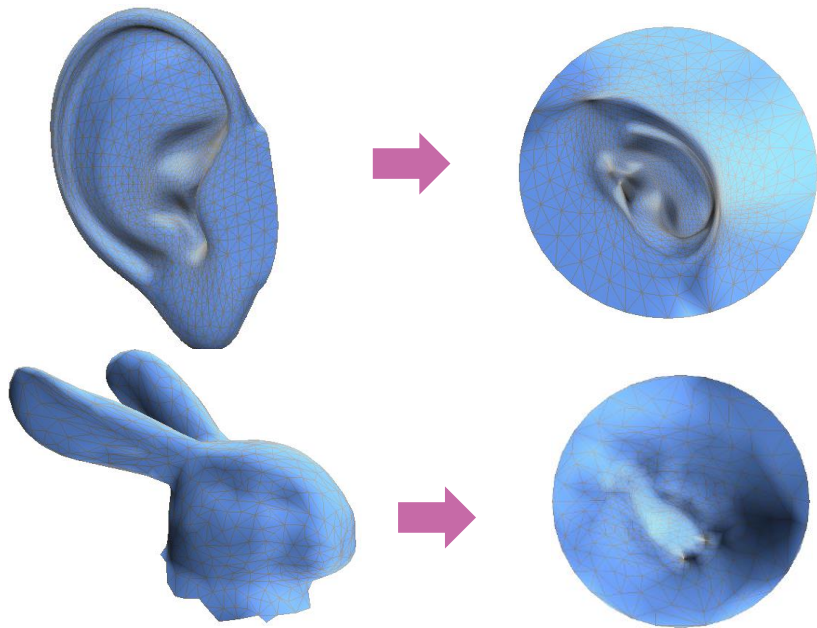
2. 视角选择



3. 纹理图像创建与编辑

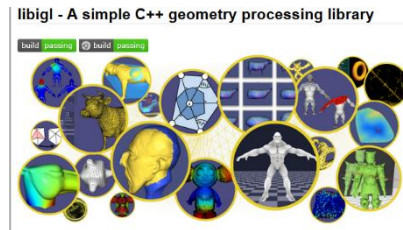
三维网格参数化

原理： 参数化把位于三维空间的三维模型，通过构建相应的数学系统，映射到二维平面



计算机图形学中经典算法：

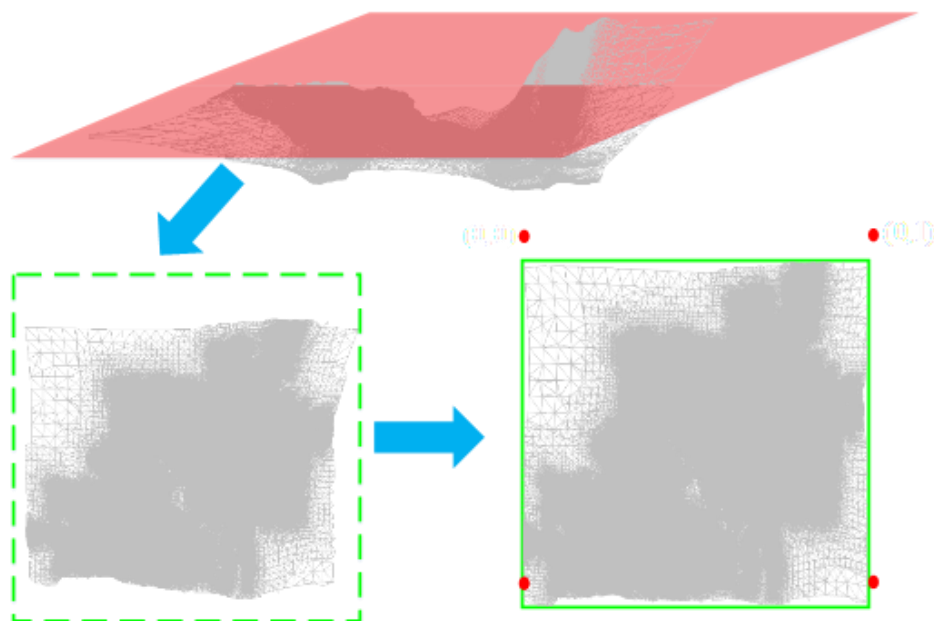
- LSCM (Least Square Conformal Maps)
- ASAP (As-similar-as-possible)
- ARAP (As-rigid-as-possible)



<http://libigl.github.io/libigl/>

三维网格参数化

UV参数 (纹理坐标的获取)



算法流程:

PCA估计平面

平面投影

仿射变换

视角选择

公式：所有的三角面片表示为 $T = \{T_i\}_{i=1}^N$ ，对应的每个面片的可视信息表示为 $v = \{v_i\}_{i=1}^N$ ，其中 $v_i = \{v_{i1}, v_{i2}, \dots, v_{ik_i}\}$ ， k_i 表示该面片可视视角的个数， $L = \{l_i\}_{i=1}^N$ 表示最终选择的可视信息，则能量函数可以表示为

$$E(\mathbf{L}) = E_{data}(\mathbf{L}) + \lambda E_{smooth}(\mathbf{L})$$

数据项 保证图像的细节

$$E_{data}(\mathbf{L}) = \sum_{i=1}^N -\nabla(P_{l_i}(T_i))$$

$P_{l_i}(\bullet)$ 表示向第 l_i 个视角的投影

$\nabla(\bullet)$ 表示梯度操作

平滑项 保证局部一致性

$$E_{smooth}(\mathbf{L}) = \sum_{i=1}^N \sum_{j \in N(i)} U(l_i, l_j),$$

其中， $U(l_i, l_j) = \begin{cases} 0, & l_i = l_j, \\ \tau, & l_i \neq l_j. \end{cases}$

优化 采用graph-cut的方法进行优化，快速得到最优值

视角选择

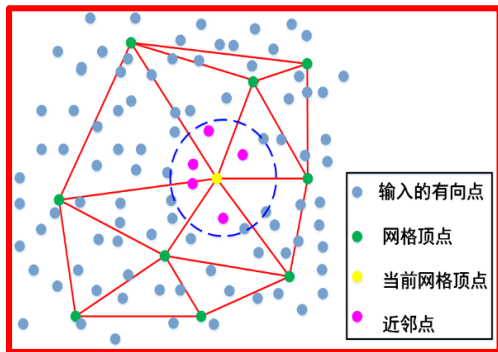
可视信息的获取

1 网格顶点可视信息的计算

求最近邻点可视信息的并集

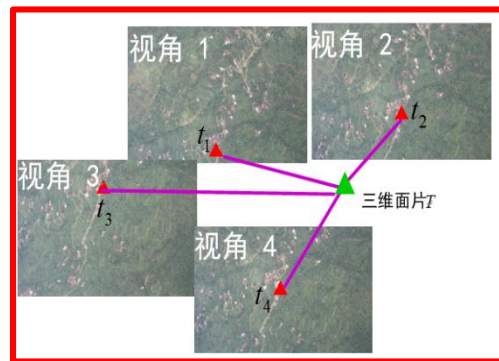
2 网格面片可视信息的计算

求所有构成顶点可视信息的交集



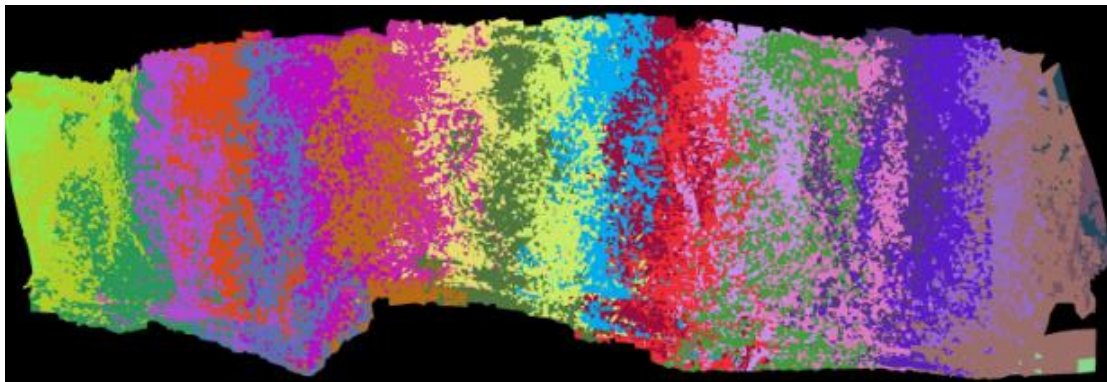
3 其它网格可视信息的计算

一些面片的可视信息无法通过上述方法求得
通过投影的方式得到这些面片的可视信息



视角选择

不带平滑约
束的结果



带有平滑约
束的结果



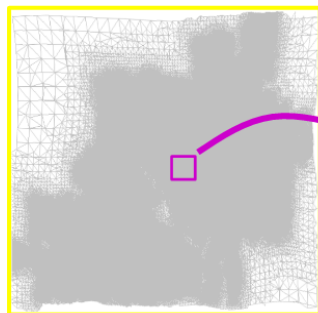
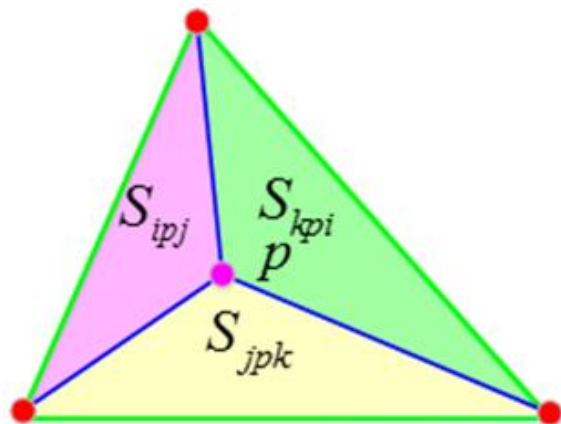
纹理图像拼接与编辑

面积坐标-确定投影三角形之间点的对应关系

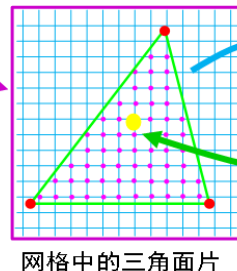
点的空间坐标



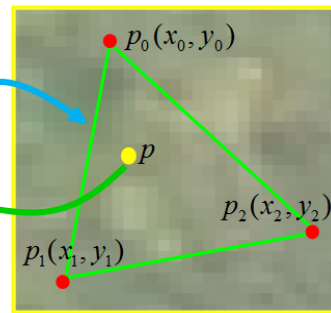
点的面积坐标



需要创建的纹理图像



网格中的三角面片



三角面片在可见视角的投影

点面积坐标

$$A_p = (A_x, A_y, A_z)$$

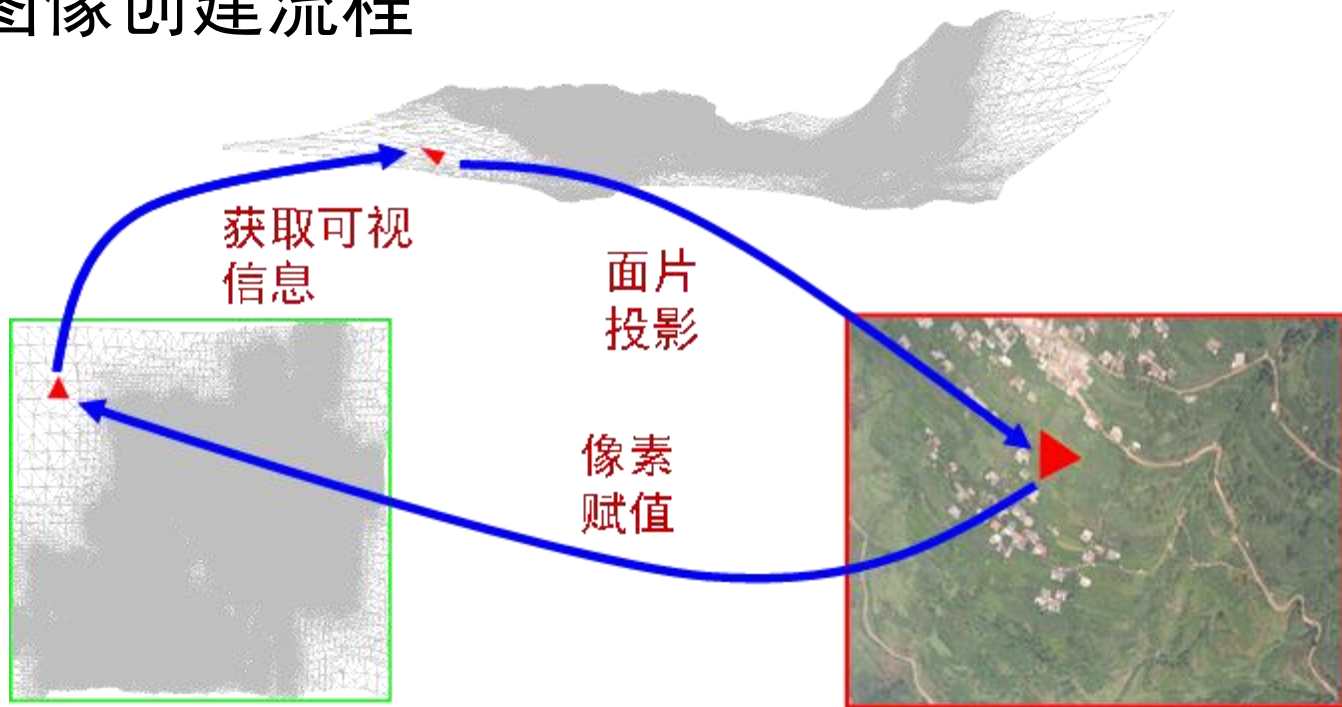


点像素坐标

$$\begin{cases} u_x = A_x x_0 + A_y x_1 + A_z x_2 \\ u_y = A_x y_0 + A_y y_1 + A_z y_2 \end{cases}$$

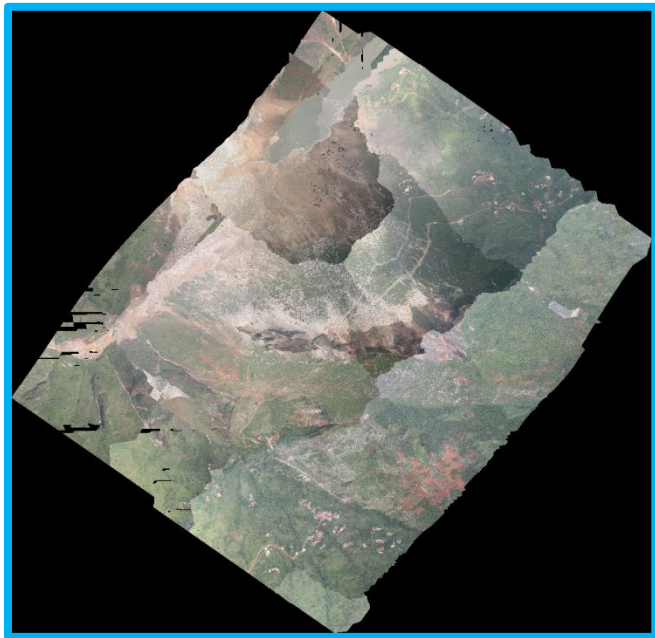
纹理图像拼接与编辑

纹理图像创建流程



纹理图像拼接与编辑

纹理图像从不同的视角拼接而成，不同视角图像的**光度变化**导致创建的纹理图像存在**缝隙**

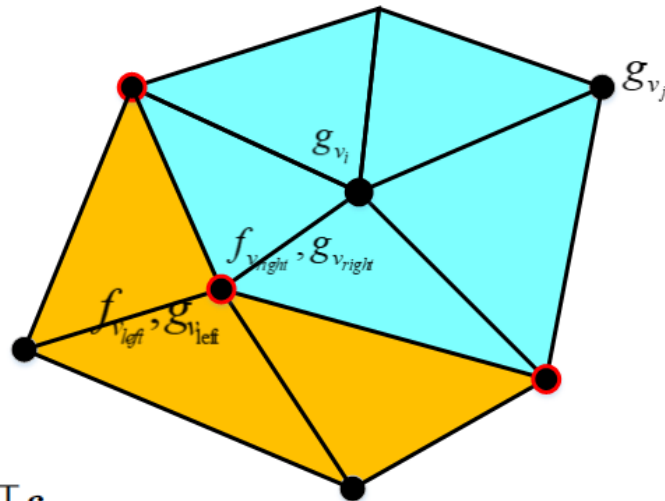


纹理图像拼接与编辑

颜色校正

每一个顶点计算一个颜色校正量，为保证一致性，缝隙上的顶点一分为二

$$\underset{\mathbf{g}}{\operatorname{argmin}} \sum_{\substack{v \text{ (split into} \\ v_{\text{left}} \text{ and } v_{\text{right}}) \\ \text{lies on a seam}}} (f_{v_{\text{left}}} + g_{v_{\text{left}}} - (f_{v_{\text{right}}} + g_{v_{\text{right}}}))^2 + \frac{1}{\lambda} \sum_{\substack{v_i, v_j \text{ are ad-} \\ \text{jacent and in} \\ \text{the same patch}}} (g_{v_i} - g_{v_j})^2$$

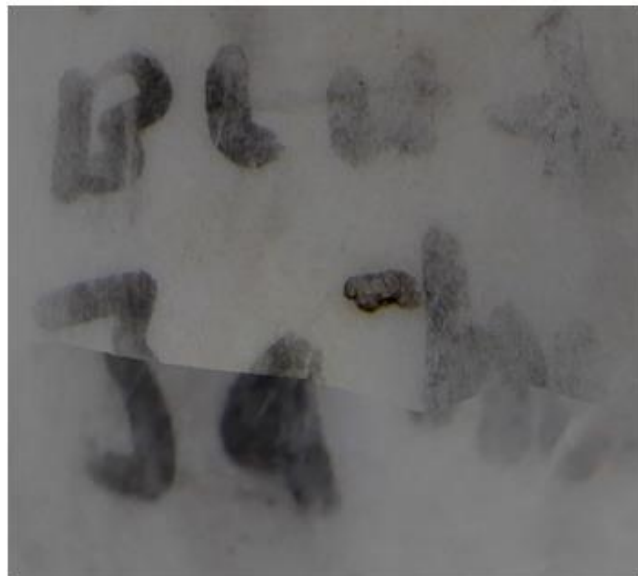
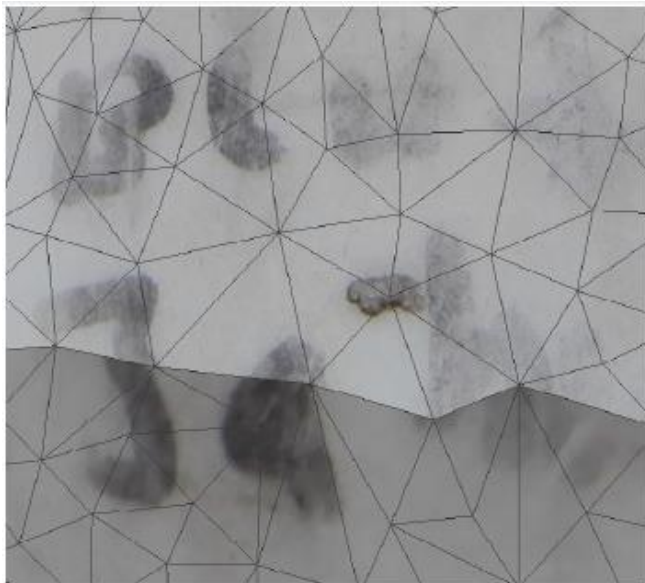


↓

$$\|\mathbf{A}\mathbf{g} - \mathbf{f}\|_2^2 + \|\mathbf{\Gamma}\mathbf{g}\|_2^2 = \mathbf{g}^\top (\mathbf{A}^\top \mathbf{A} + \mathbf{\Gamma}^\top \mathbf{\Gamma}) \mathbf{g} - 2\mathbf{f}^\top \mathbf{A}\mathbf{g} + \mathbf{f}^\top \mathbf{f}$$

纹理图像拼接与编辑

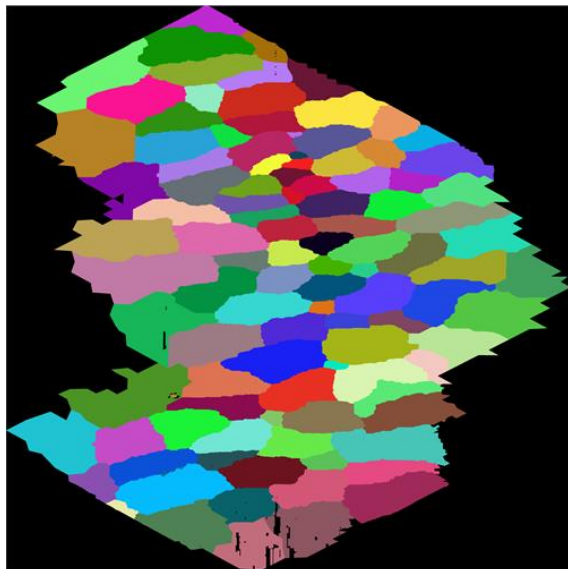
颜色校正



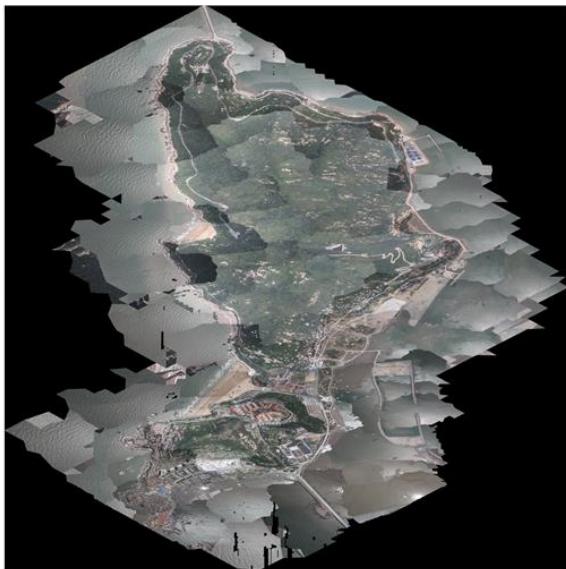
不能完全
去除縫隙

纹理图像拼接与编辑

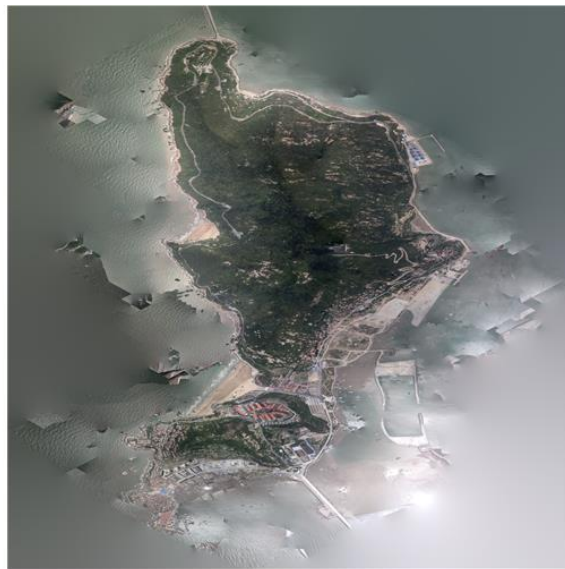
泊松图像编辑



(a) 可视信息优化结果



(b) 创建的原始纹理图像



(c) 泊松图像编辑后的纹理图像

纹理图像拼接与编辑

重建结果

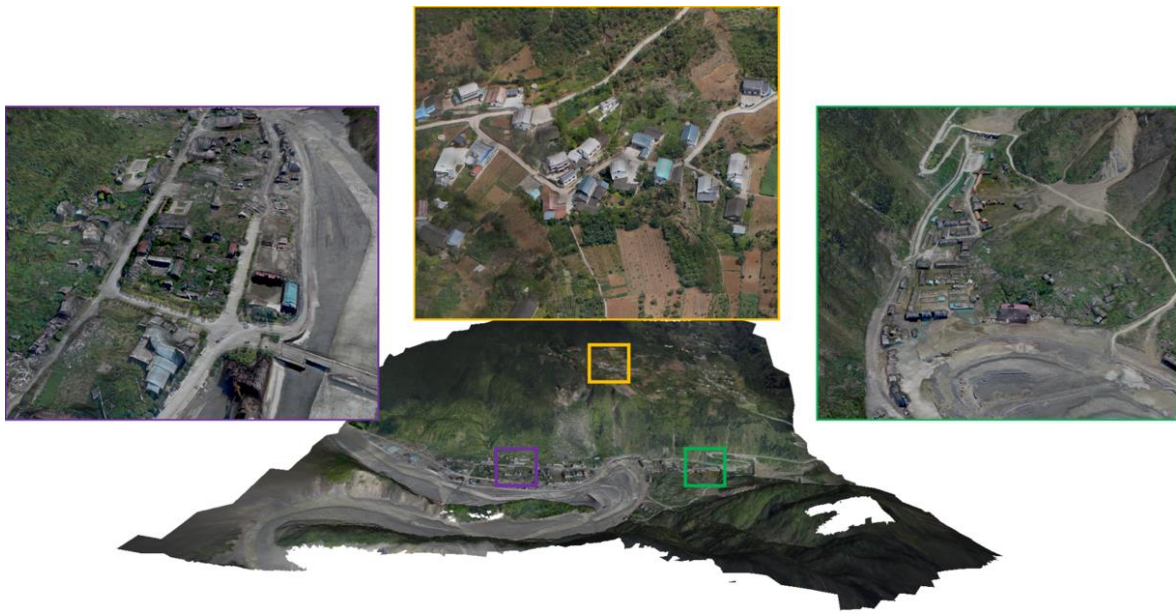
倾斜摄影5摄像头影像数据重建结果



纹理图像拼接与编辑

重建结果

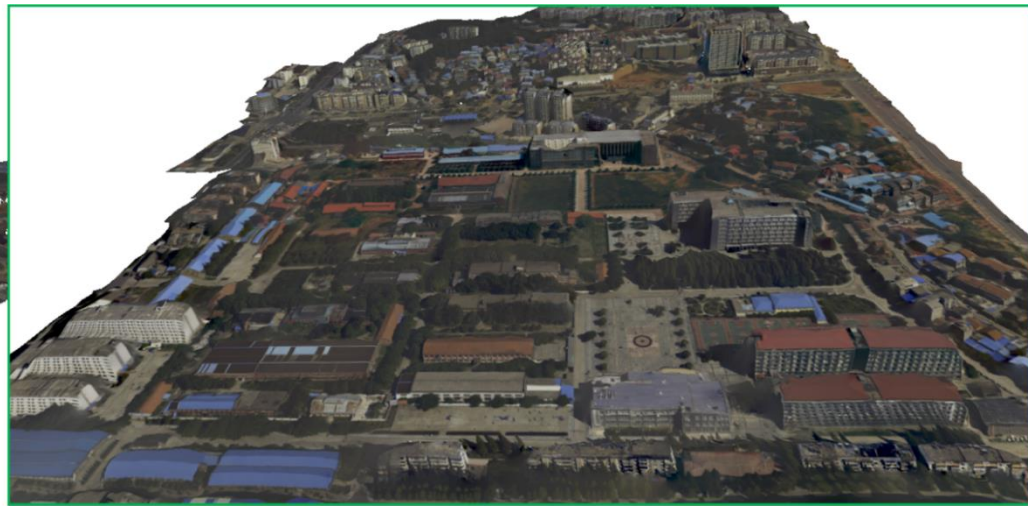
倾斜摄影3摄像头影像数据重建结果



纹理图像拼接与编辑

重建结果

倾斜摄影5摄像头影像数据重建结果



纹理图像拼接与编辑

重建结果

单摄像头影像数据重建结果





感谢各位聆听 !
Thanks for Listening ●